
CC52V

Bases de datos multimedia

Prof. Benjamin Bustos

Capítulo 5 *Índices métricos*

5.1 Conceptos básicos

- Para ciertas aplicaciones, es posible definir una función de distancia entre objetos multimedia, pero no pueden ser descritos en forma razonable como vectores
- También es posible que calcular la similitud directamente entre objetos sea más simple que transformarlos en vectores
- Índices métricos: función de distancia es una métrica

5.1 Conceptos básicos

■ Definición de espacio métrico

- Universo de objetos válidos: \mathbb{X}
- Función de distancia: $\delta : \mathbb{X} \times \mathbb{X} \rightarrow \mathbb{R}^+$
- (\mathbb{X}, δ) representa un espacio métrico ssi δ cumple con las siguientes propiedades:
 - i. Positividad estricta $\forall x, y \in \mathbb{X}, x \neq y \Rightarrow \delta(x, y) > 0$
 - ii. Simetría $\forall x, y \in \mathbb{X}, \delta(x, y) = \delta(y, x)$
 - iii. Reflexividad $\forall x \in \mathbb{X}, \delta(x, x) = 0$
 - iv. Desigualdad triangular $\forall x, y, z \in \mathbb{X}, \delta(x, z) \leq \delta(x, y) + \delta(y, z)$

3

5.1 Conceptos básicos

- Objetos de \mathbb{X} son directamente comparados utilizando δ
- δ indica el grado de disimilitud entre dos objetos
- Ejemplo: strings + distancia de edición
 - *String*: secuencia de caracteres
 - *Distancia de edición*: mínimo # de inserciones, borrados o substituciones para transformar un string en otro

4

5.2 Búsqueda en espacios métricos

- Base de datos: $\mathcal{U} \subset \mathcal{X}$
- Algoritmo ingenuo: búsqueda secuencial
- En general, en espacios métricos se considera que la función de distancia es computacionalmente costosa de calcular
- Tiempo total para evaluar una consulta

$T = \text{cómputos de distancia} \cdot \text{complejidad de } \delta + \text{tiempo de CPU} + \text{tiempo de E/S}$

5

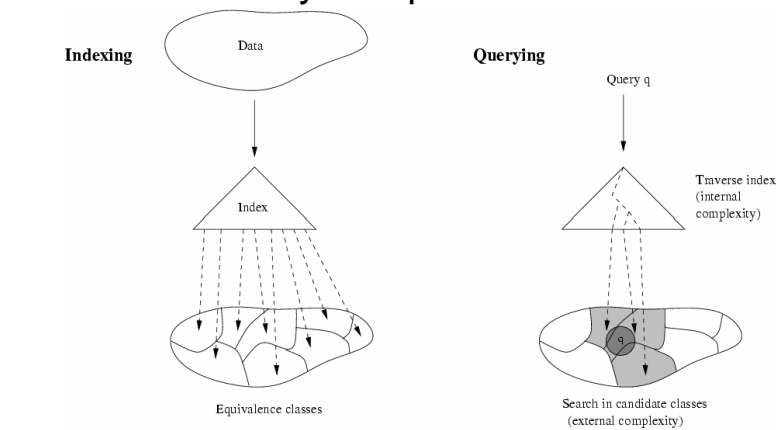
5.2 Búsqueda en espacios métricos

- Índices métricos tratan de minimizar el número de cómputos de distancia necesarios para responder búsquedas por similitud
- Otros componentes del costo pueden ser obviados (depende de la aplicación)
- Índice métrico particiona el espacio en clases de equivalencia
 - Durante la búsqueda se descartan clases
 - Clases no descartadas deben ser examinadas

6

5.2 Búsqueda en espacios métricos

■ Indexamiento y búsqueda



7

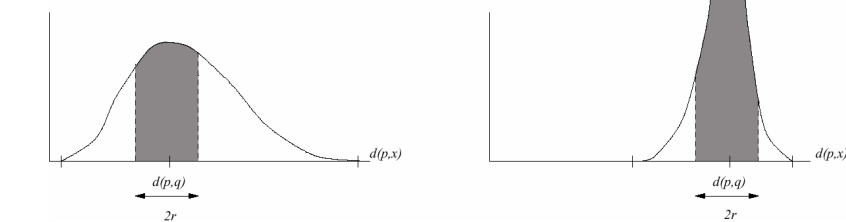
5.2 Búsqueda en espacios métricos

■ Efectos en espacios métricos [CNB+01]

Dimensión intrínseca $\rho = \frac{\mu^2}{2\sigma^2}$

ρ bajo

ρ alto



8

5.3 Índices basados en pivotes

- Un pivote es un objeto distinguido de la BD
- Puede ser utilizado para descartar objetos durante una búsqueda
- Dada una consulta por rango (q,r) y un pivote p , se tiene que

$$\delta(p, u) \leq \delta(p, q) + \delta(q, u) \text{ y } \delta(p, q) \leq \delta(p, u) + \delta(u, q)$$

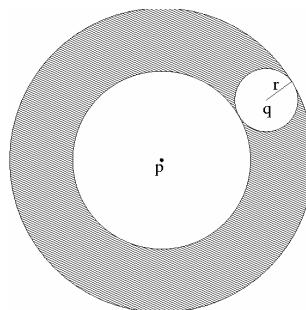
- Cota inferior para distancia entre q y x

$$|\delta(p, q) - \delta(p, u)| \leq \delta(q, u)$$

9

5.3 Índices basados en pivotes

- Criterio de exclusión: $|\delta(p, q) - \delta(p, u)| > r$
 $r < |\delta(p, q) - \delta(p, u)| \leq \delta(q, u) \Rightarrow u$ no puede ser relevante
- Gráficamente



10

5.3 Índices basados en pivotes

- Algoritmo de búsqueda canónico basado en pivotes
 - Elegir k pivotes entre los objetos de la BD
 - Índice consiste en kn distancias precalculadas entre pivotes y objetos de la BD

	p_1	...	p_k
u_1	$\delta(p_1, u_1)$...	$\delta(p_k, u_1)$
...
u_n	$\delta(p_1, u_n)$...	$\delta(p_k, u_n)$

11

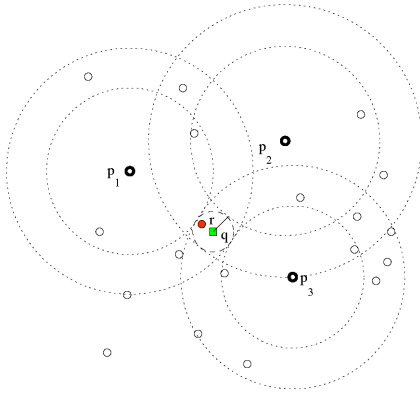
5.3 Índices basados en pivotes

- Consultas por rango
 - Calcular k distancias entre q y pivotes
 - Descartar objetos usando el criterio de exclusión (basta que con un pivote se descarte un objeto)
$$|\delta(p_i, q) - \delta(p_i, u)| > r \text{ para algún } p_i$$
 - Lista de objetos candidatos (los que no se pudieron descartar) deben ser comparados directamente con q

12

5.3 Índices basados en pivotes

■ Ejemplo



$$\begin{bmatrix} \delta(p_1, u_1) & \delta(p_2, u_1) & \delta(p_3, u_1) \\ \delta(p_1, u_2) & \delta(p_2, u_2) & \delta(p_3, u_2) \\ \vdots & \vdots & \vdots \\ \delta(p_1, u_n) & \delta(p_2, u_n) & \delta(p_3, u_n) \end{bmatrix}$$

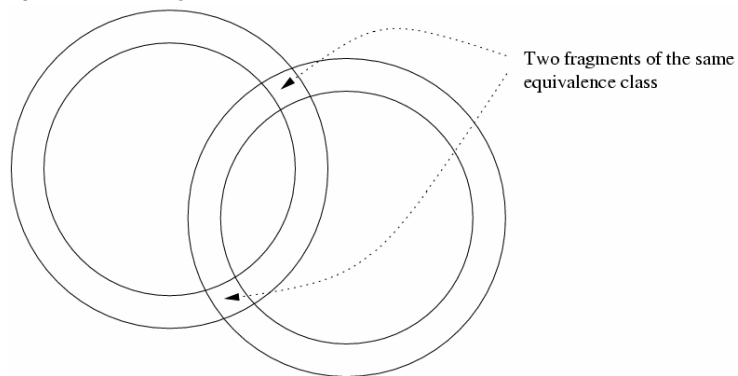
Criterio de exclusión:

$$|\delta(p_i, q) - \delta(p_i, u)| > r$$

13

5.3 Índices basados en pivotes

■ Clase de equivalencia con respecto a un conjunto de pivotes



14

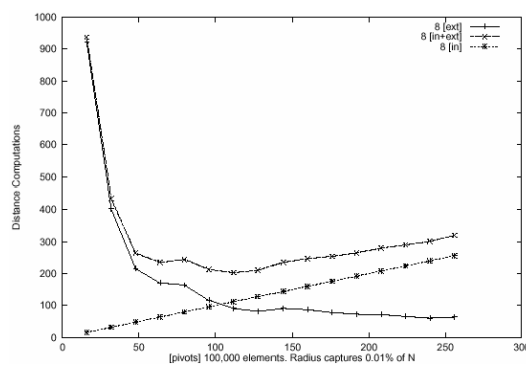
5.3 Índices basados en pivotes

- Complejidad de la búsqueda
 - Complejidad interna (k): cálculos de distancia entre pivotes y q
 - Complejidad externa (m): cálculos de distancia entre objetos no descartados y q
 - Complejidad total: $k+m$
 - Dado que la complejidad interna crece con el número de pivotes y la complejidad externa decrece con el número de pivotes: existe un número óptimo de pivotes a utilizar

15

5.3 Índices basados en pivotes

- Complejidad de la búsqueda vs. # pivotes



- k^* muy alto, se utiliza toda la memoria disponible

16

5.3.1 Vantage Point Tree [Yia93]

- VPT es un árbol binario
- Algoritmo de construcción
 - Usar cualquier objeto p como raíz
 - Calcular la mediana de todas las distancias a p

$$M = \text{mediana}\{\delta(p, u), u \in \mathbb{U}\}$$

- Subárbol izquierdo: $\delta(p, u) \leq M$
- Subárbol derecho: $\delta(p, u) > M$
- Proceder recursivamente hasta que sólo haya 1 objeto en subárbol

17

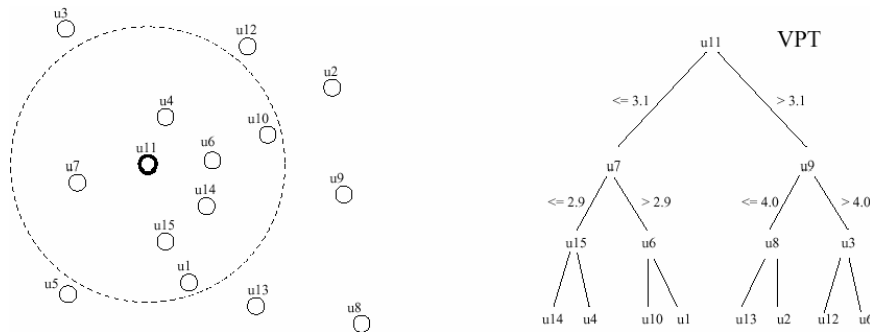
5.3.1 Vantage Point Tree [Yia93]

- Heurística propuesta para elegir p : escoger objetos “lejos” del resto
- Algoritmo de búsqueda, consultas por rango
 - Calcular $d = \delta(q, p)$
 - Si $d \leq r$ añadir p al resultado
 - Si $d - r \leq M$ buscar recursivamente en subárbol izquierdo
 - Si $d + r > M$ buscar recursivamente en subárbol derecho

18

5.3.1 Vantage Point Tree [Yia93]

■ Ejemplo de un VPT



19

5.3.2 Técnicas de selección de pivotes

- Selección de los pivotes afecta el rendimiento del algoritmo de búsqueda
 - 2 pivotes muy cercanos no aumentan mucho el poder discriminativo del índice
- En general, pivotes se eligen aleatoriamente
- Existen técnicas de selección de pivotes [BNC03]

20

5.3.2 Técnicas de selección de pivotes

■ Espacio de pivotes

- Espacio k -dimensional (cada coordenada es la distancia entre i -ésimo pivote y el objeto)

$$[x] = (\delta(x, p_1), \dots, \delta(x, p_k)) \in \mathbb{R}^k$$

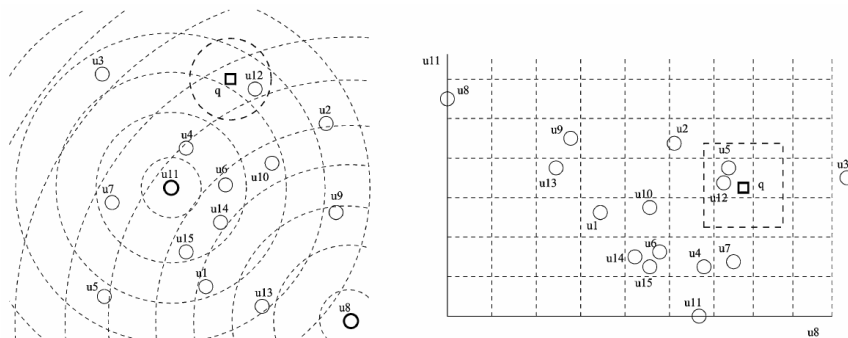
- Distancia utilizada: distancia del máximo

$$\Delta_{p_1, \dots, p_k}([x], [y]) = \max_{i=1}^k (|\delta(x, p_i) - \delta(y, p_i)|)$$

21

5.3.2 Técnicas de selección de pivotes

■ Mapeando objetos al espacio de pivotes



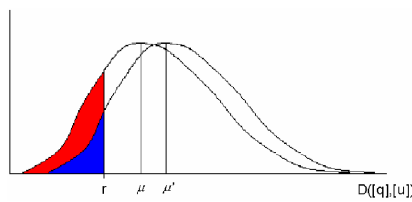
22

5.3.2 Técnicas de selección de pivotes

- Condición de exclusión en espacio de pivotes

$$|\delta(p_i, u) - \delta(p_i, q)| > r \Rightarrow \Delta_{p_1, \dots, p_k}([q], [u]) > r$$

Distribución de Δ



Criterio de eficiencia para comparar dos conjuntos de pivotes:

$$\mu'_{\Delta_{p'_1, \dots, p'_k}} > \mu_{\Delta_{p_1, \dots, p_k}}$$

23

5.3.2 Técnicas de selección de pivotes

- Estimación de μ_{Δ}

- Elegir un conjunto de A pares de puntos
- Calcular Δ_i para el i -ésimo par
- Media de distancias en Δ se estima como

$$\mu_{\Delta} = \frac{1}{A} \sum_{i=1}^A \Delta_i$$

- Costo para estimar μ_{Δ} : $2kA$ cálculos de δ

24

5.3.2 Técnicas de selección de pivotes

- Selección de N grupos aleatorios
 - Elegir N grupos de k pivotes aleatorios
 - Estimar para cada grupo
 - Escoger el grupo que maximiza μ_{Δ}
 - Costo de optimización: $2kAN$ cálculos de δ

25

5.3.2 Técnicas de selección de pivotes

- Selección incremental
 - Elegir un pivote de una muestra de N objetos aleatorios, que maximice la media de distancias de Δ
 - Elegir un segundo pivote de una muestra de N objetos aleatorios, tal que el conjunto maximice la media de distancias de Δ
 - Repetir hasta que se elijan k pivotes
 - Costo de optimización: $2kAN$ cálculos de δ
- Ventajas
 - Permite agregar pivotes sin tener que rehacer todo el trabajo de optimización

26

5.3.2 Técnicas de selección de pivotes

■ Selección de óptimo local

- Elegir k pivotes aleatorios
- Calcular matriz M

$$M_{A \times k} = \Delta_{p_j}([a_r], [a'_r]), \quad 1 \leq r \leq A, \quad 1 \leq j \leq k$$

- Se sigue que

$$\Delta([a_r], [a'_r]) = \max_{j=1}^k M[r, j]$$

27

5.3.2 Técnicas de selección de pivotes

■ Selección de óptimo local

- Contribución del pivote p_j : suma sobre las A filas de cuanto ayuda p_j a incrementar el valor de Δ
 - r_{max} : índice del pivote con el valor máximo en esa fila
 - r_{max2} : índice del pivote con el segundo valor máximo

$$\text{contribución} = \begin{cases} M[r, r_{max}] - M[r, r_{max2}] & \text{si } j = r_{max} \\ 0 & \text{si no} \end{cases}$$

28

5.3.2 Técnicas de selección de pivotes

- Selección de óptimo local
 - Pivote con contribución mínima es la *víctima*
 - Se reemplaza, si es posible, por un pivote elegido de una muestra de X objetos
 - Proceso se repite N' veces
 - Costo de optimización:
 - Construcción de M : $2Ak$ cálculos de δ
 - Calcular víctima: 0
 - Reemplazar víctima: $2AX$ cálculos de δ
 - Costo total: $2A(k+N'X)$ cálculos de δ

29

5.3.2 Técnicas de selección de pivotes

- Selección de óptimo local
 - Si $kN=k+N'X$ (i.e., $N'X=k(N-1)$), costo = $2AkN$ cálculos de d
 - Notar que se pueden intercambiar los valores de N' y X manteniendo el costo total de optimización
 - Óptimo local A: $N'=k$ y $X=N-1$
 - Óptimo local B: $N'=N-1$ y $X=k$

30

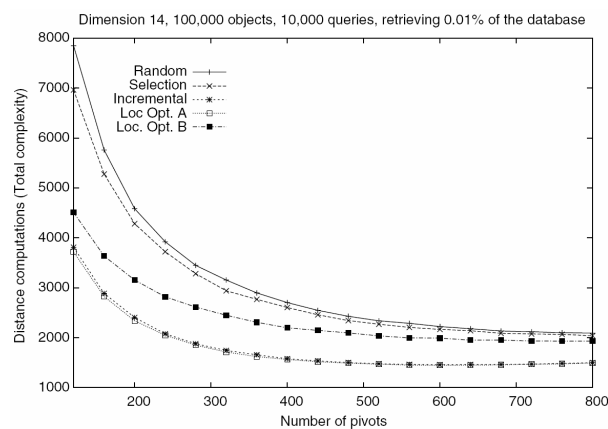
5.3.2 Técnicas de selección de pivotes

- Experimentalmente se encontró que
 - Es mejor tener buena estimación de (i.e., A debe ser grande)
 - Muestras pequeñas de objetos son suficientes para obtener buenos resultados (i.e., N puede ser pequeño)
- Pruebas experimentales
 - Con datos sintéticos
 - Métodos de selección encuentran conjuntos de “buenos pivotes”

31

5.3.2 Técnicas de selección de pivotes

■ Resultados



32

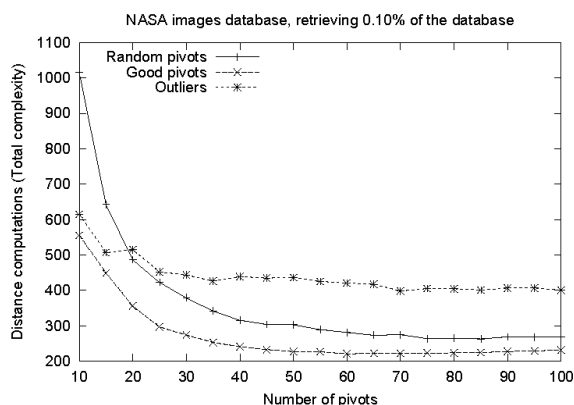
5.3.2 Técnicas de selección de pivotes

- Características de los “buenos pivotes”
 - Son objetos alejados del resto de la BD
 - Son objetos alejados entre sí
- Objetos con estas características se denominan *outliers*
 - Método alternativo de selección: elegir outliers
 - Producen mejores resultados que “buenos pivotes” en espacios sintéticos (distribución uniforme), funcionan mal con datos reales

33

5.3.2 Técnicas de selección de pivotes

■ Resultados experimentales



Observaciones:

- “Buenos pivotes” elegidos considerablemente mejores que pivotes aleatorios
- “Buenos pivotes” alcanzan la eficiencia óptima de los pivotes aleatorios con muchos menos pivotes
- Outliers usados como pivotes obtienen peores resultados que pivotes aleatorios

34

5.3.2 Técnicas de selección de pivotes

■ Conclusiones

- “Buenos pivotes” son outliers
- No todo outlier es un buen pivote
- Existen conjuntos de “buenos pivotes”
 - Se necesita una buena estimación de la media de distancias de Δ
 - No es necesario tener una muestra muy grande para escoger los pivotes
- Tema de investigación en la actualidad

35

5.3.3 Otros índices basados en pivotes

- Árboles métricos basados en pivotes
 - Burkhard-Keller Tree [BK73], Fixed Queries Tree [BCM+94], Fixed-Height Queries Tree [BCM+94], Multi Vantage Point Tree [BO97]
- Representación del árbol en arreglos
 - Spaghettis [CMB99], Fixed Queries Array [CMN01]
- Otras estructuras
 - Approximating and Eliminating Search Algorithm (AESA) [Vid86], Linear AESA [MOV94]

36

5.4 Índices basados en particiones compactas

- Dividen el espacio en zonas o particiones lo más compactas posible
- Cada zona tiene un punto representativo c denominado “centro”
- Cada zona puede ser particionada recursivamente en más zonas, forando una jerarquía de búsqueda
- Hay dos criterios generales: partición de Voronoi y radio cobertor

37

5.4 Índices basados en particiones compactas

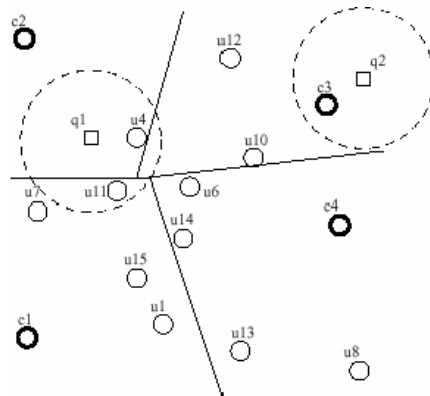
- Partición de Voronoi
 - Se eligen m centros (objetos de la BD)
 - El resto de los objetos se asigna a su centro más cercano (partición de Voronoi)
 - Dada una consulta por rango (q,r) , se calculan las distancias entre q y los m centros
 - Sea c el centro más cercano a q . Se pueden descartar las zonas i cuyo centro cumpla con:

$$\delta(q, c_i) > \delta(q, c) + 2r$$

38

5.4 Índices basados en particiones compactas

■ Ejemplo de partición de Voronoi



39

5.4 Índices basados en particiones compactas

■ Criterio de radio cobertor

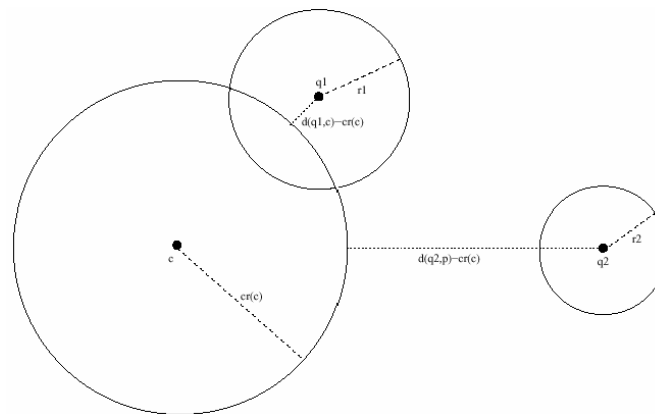
- El radio cobertor $cr(c)$ es la distancia máxima entre un centro c y algún objeto en su zona
- Dada la consulta (q, r) , la zona de centro c no puede tener intersección con la bola de consulta si

$$\delta(q, c) - cr(c) > r$$

40

5.4 Índices basados en particiones compactas

■ Ejemplo de radio cobertor



41

5.4 Índices basados en particiones compactas

■ Índices basados en particiones compactas

- Partición de Voronoi
 - Generalized-Hyperplane Tree [Uhl91]
- Radio cobertor
 - Bisector Tree (BST) [KM83], Voronoi Tree [DN87], Monotonous BST [NVZ92], M-tree [CPZ97], List of Clusters [CN05]
- Ambos criterios
 - Geometric Near-neighbor Access Tree [Bri95], Spatial Approximation Tree [Nav02]

42

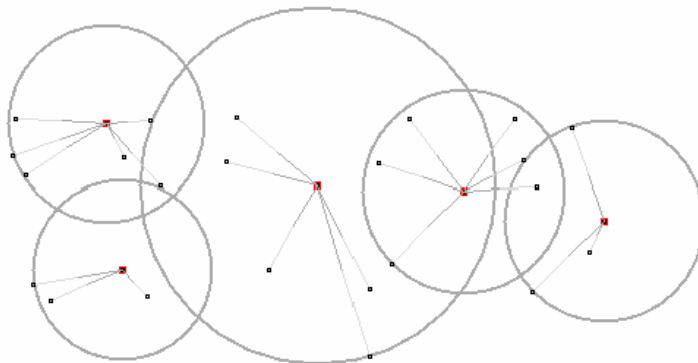
5.4.1 M-tree [CPZ97]

- M-tree [CPZ97]
 - Índice basado en el criterio de radio cobertor
 - Árbol balanceado
 - Objetivos
 - Índice dinámico (permite inserciones, borrados, updates)
 - Buen desempeño de E/S
 - Pocos cálculos de distancia por consulta

43

5.4.1 M-tree [CPZ97]

- Ejemplo de M-tree



44

5.4.1 M-tree [CPZ97]

- Estructura del M-tree
 - Hojas (nodos externos)
 - Almacenan los objetos indexados
 - Nodos internos
 - Almacenan los *routing objects*
 - Por cada routing object O_r
 - $ptr(T(O_r))$ apunta a la raíz del subárbol
 - $T(O_r)$ árbol cubridor de O_r
 - $r(O_r)$ radio cobertor de O_r
 - $P(O_r)$ padre de O_r (indefinido para la raíz)

45

5.4.1 M-tree [CPZ97]

■ Nodos del M-tree

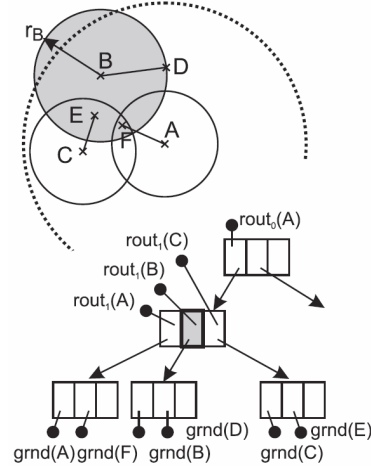
Nodos internos:	O_r $ptr(T(O_r))$ $r(O_r)$ $d(O_r, P(O_r))$	(feature value of the) routing object pointer to the root of $T(O_r)$ covering radius of O_r distance of O_r from its parent
-----------------	--	---

Nodos externos:	O_j $oid(O_j)$ $d(O_j, P(O_j))$	(feature value of the) DB object object identifier distance of O_j from its parent
-----------------	---	--

46

5.4.1 M-tree [CPZ97]

■ Ejemplo



47

5.4.1 M-tree [CPZ97]

■ Búsquedas: consulta por rango

```

RS(N:node, Q:query_object, r(Q):search_radius)
{ let  $O_p$  be the parent object of node  $N$ ;
  if  $N$  is not a leaf
  then {  $\forall O_r$  in  $N$  do:
        if  $|d(O_p, Q) - d(O_r, O_p)| \leq r(Q) + r(O_r)$ 
        then { Compute  $d(O_r, Q)$ ;
              if  $d(O_r, Q) \leq r(Q) + r(O_r)$ 
              then RS(*ptr(T( $O_r$ )), Q, r(Q)); } }
  else {  $\forall O_j$  in  $N$  do:
        if  $|d(O_p, Q) - d(O_j, O_p)| \leq r(Q)$ 
        then { Compute  $d(O_j, Q)$ ;
              if  $d(O_j, Q) \leq r(Q)$ 
              then add  $oid(O_j)$  to the result; } } }
```

48

5.4.1 M-tree [CPZ97]

- Consulta por k vecinos más cercanos
 - Hjaltason y Samet [HS95]
 - Dos colas de prioridad
 - k mejores candidatos hasta el momento
 - *Active Page List* (APL)
 - Nodos cuyo padre ya fue visitado, pero ellos no han sido visitados aún
 - Ordenados por cota inferior de la distancia al objeto de consulta

49

5.4.1 M-tree [CPZ97]

- Consulta por k vecinos más cercanos
 - Inicialmente: lista de candidatos vacío, APL sólo contiene la raíz del árbol
 - Se saca un nodo de la APL
 - Medir distancia al centro y agregarlo a la lista de candidatos si es necesario (menos de k candidatos o distancia al centro menor que al k -ésimo candidato)
 - Insertar todos los hijos a la APL
 - Terminar si APL vacía o mínima cota inferior de un nodo mayor que distancia a k -ésimo candidato, sino iterar

50

5.4.1 M-tree [CPZ97]

■ Algoritmo de inserción

```
Insert( $N$ :node, entry( $O_n$ ):M-tree_entry)
{ let  $\mathcal{N}$  be the set of entries in node  $N$ ;
  if  $N$  is not a leaf then
  { let  $\mathcal{N}_{in}$  = entries such that  $d(O_r, O_n) \leq r(O_r)$ ;
    if  $\mathcal{N}_{in} \neq \emptyset$ 
    then let entry( $O_r^*$ )  $\in \mathcal{N}_{in}$ :  $d(O_r^*, O_n)$  is minimum;
    else { let entry( $O_r^*$ )  $\in \mathcal{N}$ :
           $d(O_r^*, O_n) - r(O_r^*)$  is minimum;
          let  $r(O_r^*) = d(O_r^*, O_n)$ ; }
    Insert(*ptr( $T(O_r^*)$ ), entry( $O_n$ )); }
  else /*  $N$  is a leaf */
  { if  $N$  is not full
    then store entry( $O_n$ ) in  $N$ 
    else Split( $N$ , entry( $O_n$ )); }
```

51

5.4.1 M-tree [CPZ97]

■ Split de nodos

```
Split( $N$ :node;  $E$ :M-tree_entry)
{ let  $\mathcal{N}$  = entries of node  $N \cup \{E\}$ ;
  if  $N$  is not the root then
  let  $O_p$  be the parent of  $N$ , stored in  $N_p$  node;
  Allocate a new node  $N'$ ;
  Promote( $\mathcal{N}, O_{p1}, O_{p2}$ );
  Partition( $\mathcal{N}, O_{p1}, O_{p2}, \mathcal{N}_1, \mathcal{N}_2$ );
  Store  $\mathcal{N}_1$ 's entries in  $N$  and  $\mathcal{N}_2$ 's entries in  $N'$ ;
  if  $N$  is the current root
  then { Allocate a new root node,  $N_p$ ;
        Store entry( $O_{p1}$ ) and entry( $O_{p2}$ ) in  $N_p$ ; }
  else { Replace entry( $O_p$ ) with entry( $O_{p1}$ ) in  $N_p$ ;
        if node  $N_p$  is full
        then Split( $N_p$ , entry( $O_{p2}$ ))
        else store entry( $O_{p2}$ ) in  $N_p$ ; }
```

Promote escoge dos routing objects para ser insertados en el Nodo padre

Partition divide las entradas en el nodo que hizo overflow en dos subconjuntos disjuntos

52

5.4.1 M-tree [CPZ97]

- Nuevos radios cobertores después de un split

- Si es una hoja

$$r(O_{p_1}) = \max\{d(O_j, O_{p_1}) | O_j \in \mathcal{N}_1\}$$

- Si es un nodo interno

$$r(O_{p_1}) = \max\{d(O_r, O_{p_1}) + r(O_r) | O_r \in \mathcal{N}_1\}$$

53

5.4.1 M-tree [CPZ97]

- Métodos *Promote* y *Partition*

- Definen una política de split

- Objetivos

- Minimizar “volumen”
- Minimizar “solapamiento”

- *Promote*

- Elegir el padre del nodo como uno de los routing objects (*confirmed split policy*)
- Aleatoriamente
- Minimizar suma de radios cobertores resultantes

54

5.4.1 M-tree [CPZ97]

■ Métodos *Promote* y *Partition*

- *Partition*
 - *Generalized Hyperplane*: asignar cada objeto al routing object más cercano
 - Balanceado: repartir la mitad de los objetos a cada routing objects (criterio: distancia a los routing objects)
- *Generalized Hyperplane* funciona mejor en la práctica

55

5.4.1 M-tree [CPZ97]

■ Conclusiones

- Índice métrico dinámico
- Performance depende de la política de split utilizada
- Si se conocen los objetos de la BD de antemano: bulk loading
- Se sigue realizando investigación para extender capacidades de este índice

56

5.4.2 List of Clusters [CN05]

- Basado en el criterio de radio cobertor
- Árbol binario desbalanceado
 - Hijo izquierdo siempre contiene datos
 - Hijo derecho contiene árbol con resto de los objetos
 - Último nodo sólo tiene hijo izquierdo

57

5.4.2 List of Clusters [CN05]

- Estructura
 - Se elige un objeto c como centro y un radio cobertor r
 - Se insertan en la región de c todos los objetos a distancia menor o igual que r de c
 - Objetos en la región: forman nodo izquierdo
 - Resto del espacio: nodo derecho
 - Se elige otro centro y se repite el proceso hasta que no queden más objetos
 - Orden de las regiones en la lista es importante
 - Si hay traslape, el objeto pertenece al primer nodo de la lista que cubra la posición donde está

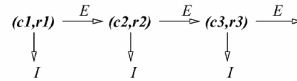
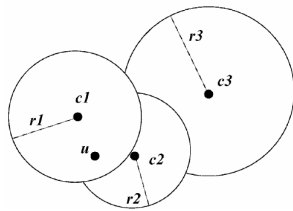
58

5.4.2 List of Clusters [CN05]

■ Algoritmo de construcción

```

Build (U)
  if U = ∅ then return an empty list
  Select c ∈ U
  Select a radius rc
  I ← {u ∈ U - {c}, d(c, u) ≤ rc}
  E ← U - I
  return (c, rc, I):Build(E)
  
```



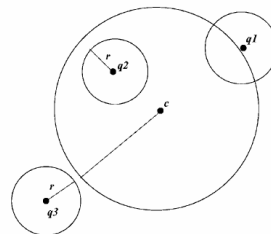
59

5.4.2 List of Clusters [CN05]

■ Algoritmo de búsqueda por rango

```

Search (L, q, r)
  if L is empty then return
  Let L = (c, rc, I) : E
  Compute d(c, q)
  if d(c, q) ≤ r then add c to the list of results
  if d(c, q) ≤ rc + r then search I exhaustively
  if d(c, q) > rc - r then Search (E, q, r)
  
```



60

5.4.2 List of Clusters [CN05]

- Selección del centro
 - Existen distintas opciones
 - Mejores resultados empíricos: objeto que maximice la suma de distancias a los centros previos
- Selección del radio
 - Radio fijo o número de objetos por región fijo
 - Mejores resultados: número de objetos fijo

61

5.4.2 List of Clusters [CN05]

- Conclusiones
 - Índice simple, desbalanceado
 - En la práctica funciona bien en espacios métricos con dimensión intrínseca alta

62

5.5 Referencias

- [BK73] W. Burkhard and R. Keller. Some approaches to best-match file searching. *Communications of the ACM*, 16(4):230—236, 1973
- [BCM+94] R. Baeza-Yates, W. Cunto, U. Manber, and S. Wu. Proximity matching using fixed-queries trees. In *Proc. 5th Annual Symposium on Combinatorial Pattern Matching*, LNCS 807, pages 198—212, 1994
- [BNC03] B. Bustos, G. Navarro, and E. Chavez. Pivot selection techniques for proximity queries in metric spaces. *Pattern Recognition Letters* 24(14):2357-2366, 2003
- [BO97] T. Bozkaya and M. Ozsoyoglu. Distance-based indexing for high-dimensional metric spaces. In *Proc. ACM International Conference on Management of Data (SIGMOD'97)*, pages 357—368. ACM Press, 1997
- [Bri95] S. Brin. Near neighbor search in large metric spaces. In *Proc. 21st Conference on Very Large Databases (VLDB'95)*, pages 574-584, 1995
- [CMB99] E. Chávez, J. Marroquín, and R. Baeza-Yates. Spaghettis: An array based algorithm for similarity queries in metric spaces. In *Proc. 6th Intl. Symp. on String Processing and Information Retrieval (SPIRE'99)*, pages 38—46. IEEE CS Press, 1999
- [CMN01] E. Chávez, J. Marroquín, and G. Navarro. Fixed queries array: A fast and economical data structure for proximity searching. *Multimedia Tools and Applications*, 14(2):113—135, 2001
- [CN05] E. Chávez and G. Navarro. A compact space decomposition for effective metric indexing. *Pattern Recognition Letters*, 26(9):1363—1376, 2005.
- [CNB+01] E. Chávez, G. Navarro, J. Marroquín, and R. Baeza-Yates. Searching in metric spaces. *ACM Computing Surveys*, 33(3):273—321, 2001

63

5.5 Referencias

- [CPZ97] P. Ciaccia, M. Patella, and P. Zezula. M-tree: An efficient access method for similarity search in metric spaces. In *Proc. 23rd Conf. on Very Large Databases (VLDB'97)*, pages 426-435, 1997
- [DN87] F. Dehne and H. Noltemeier. Voronoi trees and clustering problems. *Information Systems* 12(2):171-175, 1987
- [KM83] I. Kalantari and G. McDonald. A data structure and an algorithm for the nearest point problem. *IEEE Transactions on Software Engineering* 9(5):631-634, 1983
- [MOV94] L. Micó, J. Oncina, and E. Vidal. A new version of the nearest-neighbor approximating and eliminating search (AESA) with linear preprocessing-time and memory requirements. *Pattern Recognition Letters*, 15:9—17, 1994
- [Nav02] G. Navarro. Searching in metric spaces by spatial approximation. *The Very Large Databases Journal (VLDBJ)* 11(1):28-46, 2002
- [NVZ92] H. Noltemeier, K. Verbarq, and C. Zirkelbach. C. Monotonous Bisector Trees – a tool for efficient partitioning of complex schemes of geometric objects. In *Data Structures and Efficient Algorithms*, LNCS 594, pages 186—203. Springer, 1992.
- [Uhl91] J. Uhlmann. Satisfying general proximity/similarity queries with metric trees. *Information Processing Letters*, 40:175-179, 1991
- [Vid86] E. Vidal. An algorithm for finding nearest neighbors in (approximately) constant average time. *Pattern Recognition Letters*, 4:145—157, 1986
- [Yia93] P. Yianilos. Data structures and algorithms for nearest neighbor search in general metric spaces. In *Proc. 4th ACM/SIAM Symposium on Discrete Algorithms (SODA'93)*, pages 311—321, 1993

64